

単支間の上路式補剛アーチ橋の模型実験

熊本大学 吉村虎藏 佐世保重工 五反田進

同 田中俊一郎・久保山孝治 山内鉄雄 加来実雄

はじめに

上路式アーチは中路式補剛アーチ橋の載荷実験のタぐには、実験値と理論値との差の甚しいことを報告している。⁽¹⁾⁽²⁾⁽³⁾ たわみ比は 15~50 %, 20~40 %, 20~30 % などの測定例があり、またアーチ軸力は、軸力測定支点側に大きく偏った影響線が測定された例がある。これらの原因は、アーチクラウンの水平変位が、何等かの原因で拘束をつけられてしまうとの仮定のもとに、文献⁽⁴⁾のような理論的研究を進めてきた。元来、上路式補剛アーチ橋の解析に用いられるモデルは、アーチクラウン上においても支柱があり、支柱の上下端はアーチおよび補剛桁にピン結されたモデルが用いられる。ゆえに、補剛桁は一端固定、他端可動のヒンジ支承であっても、アーチクラウンは自由に水平に変位できるモデルである。しかしながら、実際に設計されるアーチ橋はアーチクラウンと補剛桁はクラウンプレートなどで結合されていて、実橋は解析モデルと異なった挙動をするものと考えられる。これらのことと実験的に、たしかめるために、この模型実験を行なつた。

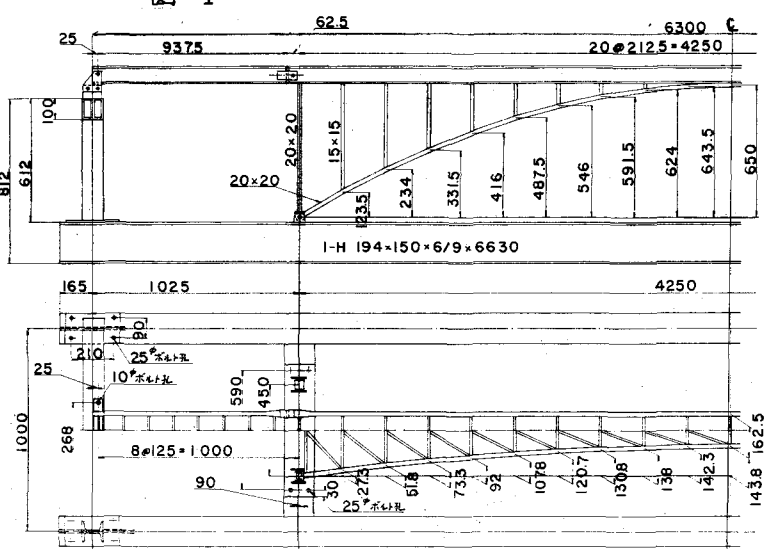
1. 模型の設計について

実橋の縮尺の記号を表-1のように定めると、振動数、たわみ、補剛桁応力、アーチ応力における模型のそれと実橋のそれとの比は、表-2のよう与えられる。いまヤング率比、振動数比、荷重比、応力比を表-3のように仮定し、測定するたわみが 10 mm 以上、4次の固有振動数が 30/s 以上、測定ひずみが 50×10^{-6} 以上にはるよう、表-4(a)欄の実橋に対する模型と種々の縮尺で試算した結果、表-5(b)の $\ell = 1/40$ が適当な寸法として選ばれ

表-1 縮尺記号

骨組寸法 l	振動数 $\omega/\omega_0 = \frac{1}{\ell^2} \sqrt{\frac{EI}{m}}$
柱断面2次モーメント i	たわみ $\delta/\delta_0 = P \ell^3 / EI$
単位長重量 m	荷重 P
活荷重 p	軸応力 $\sigma_a/\sigma_{a0} = P \ell / z$
アーチ断面積 A	アーチ応力 $\sigma_t/\sigma_{t0} = P / A$
桁断面係数 Z	アーチと桁の I の比 $1/30 \sim 1/50$
ヤング率 e	

図-1



た。さらに、座屈等を考慮して設計された模型が図-1である。このようにこの模型は、静的と動的の実験ができるよう設計されていふ。

2. 実験方法について

静的実験では、ひずみの測定には抵抗線ひずみゲージと用い、たわみの測定にはダイアルゲージを用い、1ヶ10kgの荷重を30kgかけて測定した。応力は補剛術、アーチ、支柱のそれぞれに、その曲げモーメントと軸力が測定できるようゲージを貼り、ダイアルゲージは桁の $\frac{1}{4}$ 点、 $\frac{1}{2}$ 点、 $\frac{3}{4}$ 点の鉛直変位と桁端の水平変位を測定できるよう

に設置した。振動試験では、約1.9/cmのばね常数の片持ばね式の薄鋼板ばねの先端をピアノ線で桁に取付け、板ばねの固定端に上下変位を与えて、模型を加振し、模型を取付けた加速度計によって変位を測定し、

周波数応答曲線と描いて固有振動数、対数減衰率を求めた。加振のために動電型振動子(IMV)を用いた。

3. 実験結果と理論値

実験種別の記号を表-5に示す。多くの実験値のうち、 $\frac{1}{4}$ 点のたわみの影響線($Y_{\frac{1}{4}}$ -line)、 $\frac{1}{2}$ 点のたわみの影響線($Y_{\frac{1}{2}}$ -line)、補剛術端の水平変位の影響線(L -line)、(1ラウンの水平変位と見なしてよい)、桁の $\frac{1}{4}$ 点近くの曲げモーメントの影響線(M_3 -line)、1ラ

ウン近くの桁の曲げモーメントの影響線(M_9 -line)、アーチの水平反力影響線(X_1 -line)などの実験値とそれぞれの理論値(剛節構造として解析)とを、図-2, 3, 4に掲げる。図-4の実験値のうち、左よりオ3パネルのアーチの測定軸力の水平成分を $N_3 \cos \alpha$ と記し

表-4 諸元

表-3 仮定値

	(a) 実橋	(b) 模型		
($l=1/40$)				
e	$1/7$	支間	170^m	4.25^m
w/w_0	10	支構間隔	6.5	0.162
p	$1/1000$	ライズ	26.0	0.65
σ/σ_0	$1/5$	単位長重量	$10.0 t/m$	$20 kg/m$
S/S_0	$1/5$	桁のI	$10 \times 10^6 cm^4$	$55 cm^4$
		桁のZ	$7 \times 10^4 cm^3$	$9.05 cm^3$
		アーチのA	$7 \times 10^2 cm^2$	$3.5 cm^2$

表-5 実験記号

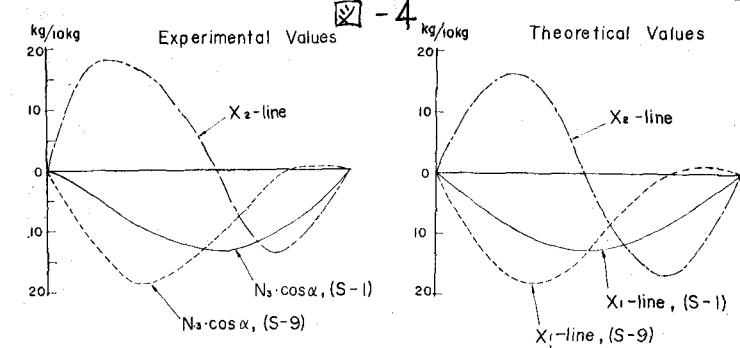
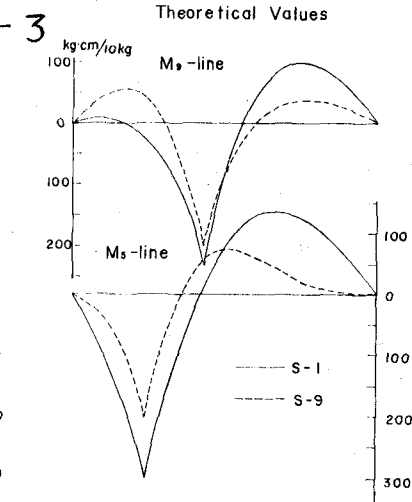
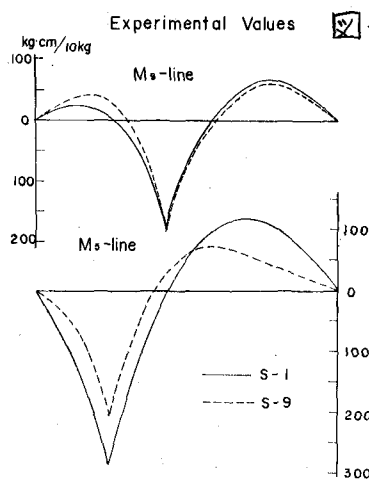
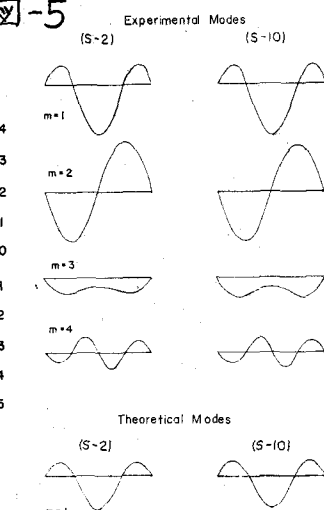
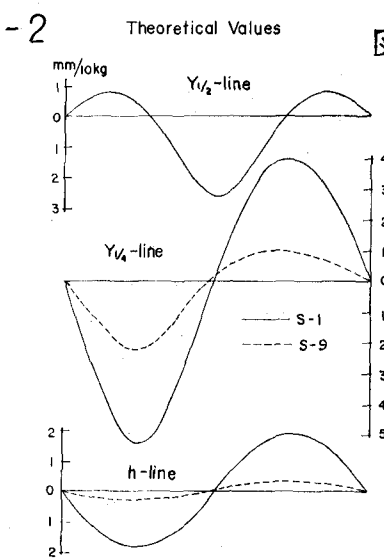
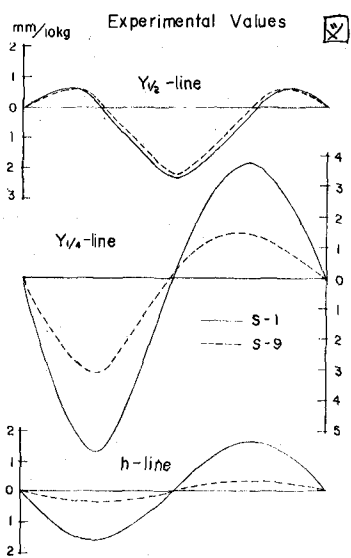
	静的実験	動的実験
单支間桁端部無拘束	S-1	S-2
单支間桁端部拘束	S-9	S-10

表-6 影響線の最大値の比較(10kgあたり)

	実験			理論		
	S-1	S-9	比	S-1	S-9	比
$Y_{\frac{1}{2}}$	2.28^m	2.20	0.97	2.65^m	2.65	1.00
$Y_{\frac{1}{4}}$	5.72	3.16	0.54	5.27	2.24	0.43
R	1.61	0.34	0.21	1.78	0.30	0.17
M_9	$190 kg/cm$	195	1.03	$234 kg/cm$	207	0.89
M_5	285	208	0.73	307	209	0.68
X_1	$13.2 kg$	18.6	1.41	$12.8 kg$	18.1	1.41
X_2	0	-18.0	—	0	-16.0	—

表-7 固有振動数

	実験			理論		
	S-2	S-10	比	S-2	S-10	比
1次(SY-1)	$10.3 Hz$	10.2	0.99	8.57	8.59	1.01
2次(ASY-1)	4.70	6.85	1.46	4.44	7.81	1.76
3次(SY-2)	13.6	13.7	1.01	13.6	13.6	1.00
4次(ASY-2)	18.8	18.9	1.01	16.6	16.6	1.00



たが、この線は X_1 -line に対応するものである。また X_2 -line とあるのは、(S-9)における補剛桁端の水平拘束反力の影響線である。これらの影響線の最大振幅を表-6に示す。また振動試験によって得られた共振点における振動モードを描き、理論値と比べると図-5のようである。固有振動数を表-7にかかげて比較した。

もすび

表-6、図-2よりわからようすに、(S-9)では桁端の水平変位を拘束しているので、 θ -line が約20%に減少しているが、このために鉛直たわみは、 Y_1 -lineにおいて(S-1)と(S-9)との差がいちぢろしい。すなわち、実験値の $(S-9)/(S-1)$ 、理論値の $(S-9)/(S-1)$ はともに約50%となっている。また M_5 -line については、(S-9)は(S-1)の約70%に減少し、 $M_{5,max}$ と $M_{9,max}$ がほぼ等しい値となっている。

反力の影響線では、まず(S-1)の X_1 -line と(S-9)の X_1 -lineとのいちぢろしい差に注目すべきであらう。アーチクラウンの水平拘束のために(S-9)では、アーチ左支点反力は対称性が大きくずれ、左に偏る。この性状は文献(2)の二層橋の測定影響線と類似していることは注目すべきであると思う。

固有振動数では、(S-2)、(S-10)を比べると、最低振動数が大きく異なる。すなわち、2次が最も低いが、この振動では $(S-10)/(S-2) \approx 150\%$ となっている。

[注]

(1) 福井・吉村他；内大臣橋の載荷試験について、熊大工学部研究報告 13-1

(2) 番・山本他；二層橋逆ランガー桁の応力測定、オフ会日本道路会議論文集 S.38

(3) 星・児島；逆ランガー桁の架設にわみ応力測定について、

土木学会第20回年次講演会 S.40

(4) 吉村他；水平変位の拘束による2ヒンジアーチの動的・静的挙動、

土木学会第22回年次講演会 S.42

(5) 吉村他；上路式補剛アーチ橋を水平に弾性拘束したときの結合法による

動的解析とその拘束効果、土木学会第23回年次講演会 S.43